

天然富碳沉积物中菲的吸附行为研究

杨毅, 刘敏, 陈振楼, 许世远

(华东师范大学资源与环境学院, 教育部地理信息科学重点实验室, 上海 200062)

摘要: 根据密度和粒度, 对受煤矿活动影响的天然沉积物进行分离, 并研究原始沉积物和各组分对菲的吸附行为。岩相分析鉴别出沉积物中富含煤和各种煤的生成物, 这些富碳物质对沉积物中 PAHs 的行为意义重大。分别应用了 Freundlich 以及分配和填孔二元模型对实验数据进行拟合, 结果表明, 各组分对菲的吸附均表现出非线性的吸附特征, 其 n 值在 0.72~0.76 之间。轻组分 $\lg K_{Fr}$ 高达 4.03, 显示出与原煤相当的吸附容量。同时, 相比 Freundlich 模型, 二元模型表现出更好的拟合度, 揭示了低 c_w 下以“填孔”为主导, 高 c_w 下以“分配”为主导的吸附机制。富含富碳物质的轻组分虽然在沉积物中含量不足 5%, 但该组分对整个沉积物吸附量的贡献率高达 60% 以上。

关键词: 富碳物质; 沉积物; 吸附; 菲

中图分类号: X131 文献标识码: A 文章编号: 0250-3301(2009)07-2087-06

Sorption Behavior of Phenanthrene to Natural Carbonaceous Sediments

YANG Yi, LIU Min, CHEN Zhen-lou, XU Shi-yuan

(Key laboratory of Geographic Information of the Ministry of Education, School of Resource and Environmental Sciences, East China Normal University, Shanghai 200062, China)

Abstract: Natural sediments impacted by previous coal mining activities were collected and separated according to grain size and density. Sorption experiments were performed with original sediments and different sub-fractions. Abundant coal and other coal-derived particles were identified using organic spectrographic analysis. Both Freundlich and partitioning and pore-filling model were applied to fit the experimental data. All sorption isotherms showed non-linear sorption properties, with n in the range of 0.72-0.76. The light fraction had the highest sorption capacity ($\lg K_{Fr} = 4.03$), which is comparable to that of raw coal. In addition, partitioning and pore-filling model yields the better fitting than Freundlich model, indicating that at low c_w , “pore-filling” dominants the whole sorption; while with the increase of c_w , partition takes place of adsorption and dominants the sorption. In addition, in spite of the very low mass weight, the light fraction dominated by carbonaceous materials contributed more than 60% of the sorption for the whole sediments.

Key words: carbonaceous materials; sediment; sorption; phenanthrene

多环芳烃(PAHs)由于其憎水性和较高的 K_{ow} 值, 在水环境中易于和颗粒物结合, 并随之沉降进入沉积物中。天然沉积物并不均质, 它由不同成分、形态和不同物理化学性质的环境吸附剂组成。一般来说, 由于具有较强亲脂疏水性, 有机质吸附 PAHs 的能力优于无机矿物。照来源和物质组成划分, 有机吸附剂主要有 3 类: 腐殖质、环境高分子物质 (geopolymers) 包括干酪根和煤、火成/燃烧产物 (碳黑)^[1]。如果按照其物理化学性质划分, 有机吸附剂则包括软碳和硬碳^[2], 其中硬碳为浓缩的、相对刚性的有机质, 它们是类似玻璃质的高分子化合物, 比如干酪根、煤和碳黑等富碳物质, 其吸附/解吸行为表现为较高的吸附焓、非线性、竞争性、慢速解吸动力学和可能存在的吸附/解析滞后等效应^[3~6]。

目前, 天然沉积物中 PAHs 的吸附仍是研究的热点, 由于天然样品的复杂性和异质性, 该领域还存在不少问题。例如, 仅运用标准物质(如碳黑、煤等)^[7,8] 进行吸附实验, 只能间接反映天然沉积物的

吸附机制; 而直接采用天然沉积物的吸附实验, 往往忽略了沉积物的异质性。最近, 运用化学提取的方法尽管实现了对沉积物各组分的分离^[6,9,10], 而该类方法很可能改变沉积物中异质吸附剂的某些特性, 进而对其吸附产生影响。在本实验中, 选取早期受煤矿活动影响较大的河流沉积物为对象, 为了减少对各异质吸附剂物化特性的影响, 选取物理的方法(密度和粒度)对该河流沉积物进行分离, 以菲为典型 PAHs 对各沉积物组分进行吸附实验, 并针对各组分, 尤其是富含富碳物质的轻组分进行吸附行为研究, 旨在揭示典型富碳沉积物对菲的吸附机制。

收稿日期: 2008-08-28; 修订日期: 2008-11-03

基金项目: 国家自然科学基金重点项目(40730526); 上海市科委“十一五”重大科技攻关项目(07DZ12037); 上海市基础研究重点项目(05JC14059)

作者简介: 杨毅(1979~), 女, 博士, 副研究员, 主要研究方向为水环境中有机污染物的行为, E-mail: yiyan.ecnu@gmail.com

1 材料与方法

1.1 沉积物的表征

沉积物样品来源于德国 Mosel 河流, 该区域受早期煤矿工业的影响较为严重。采集来的沉积物样品经过冷冻风干后, 运用多钨酸钠重液(Sometu, 德国)对样品进行分离, 重液密度调制为 2 g/cm^3 , 因此, 密度 $> 2 \text{ g/cm}^3$ 为重组分, $< 2 \text{ g/cm}^3$ 为轻组分。同时, 运用湿筛法得到 $< 63 \mu\text{m}$ 的沉积物组分。各组分收集以后再次冷冻风干, 在氧化锆行星球磨罐中进行 30 min 的研磨($< 63 \mu\text{m}$ 组分除外), 以确保所有的样品粒度 $< 63 \mu\text{m}$ 从而使吸附实验达到快速平衡状态^[8]。本吸附实验的样品包括: 原始沉积物、轻组分、重组分和 $< 63 \mu\text{m}$ 的组分。

沉积物各组分用稀盐酸去除碳酸盐后, 应用元素分析仪(Vario EL, Elementar)来分析其总有机碳(TOC)和碳黑(BC)的含量。其中, BC 的测定参照 CTO375 的方法^[11], 即沉积物各组分去除碳酸盐后, 将约 20 mg 的样品置于马弗炉中, 通风状态下氧化 24 h, 炉温为 $(375 \pm 2)^\circ\text{C}$, 进而进行 BC 的测定。沉积物各组分的比表面积和孔容则用氮气吸附/解吸的 BET 方法测定(Mircromertitics)。另外笔者对该沉积物也进行了岩相分析, 具体如下: 对轻组分稀盐酸处理以后, 样品置入环氧树脂后磨光, 进而运用光学显微镜(Leitz DMRX-MPVSP)对样品中的富碳物质进行鉴别。

1.2 吸附实验

本次实验中, 选择菲(Aldrich Chemical Corp.)作为 PAHs 的代表物, 利用批处理实验来进行吸附行为的研究。具体如下: 运用甲醇为溶剂来配置菲的原液, 进而根据实验设计将不同浓度的菲注入超纯水(Millipore)中, 甲醇浓度始终控制在 $< 0.5\%$, 以保证其对吸附实验没有明显的影响^[12]。同时加入 200 mg/L 的 Na_3 , 以抑制微生物的活动。所有的批处理实验均运用带有 Teflon 垫片的 20~50 mL 的玻璃钳口顶空瓶(Alltech), 所有样品均包括 3 个平行样。根据需要, 0.005 g~1 g 的样品被移至顶空瓶中, 注入各种不同浓度的含菲水溶液, 并保证顶空体积最小。不同的水土比的选择则基于不同样品的吸附性能, 且实验的设计保证平衡时在 log-log 尺度范围能够达到 3 个数量级的初始浓度。

同时, 没有添加样品的对照实验也在同等条件下进行。所有样品在 20°C 恒温室中, 振荡 1 周。笔者的早期吸附实验表明, 对于研磨后的超细颗粒的样

品, 1 周时间足以使其达到平衡, 即使是对含有富碳物质的样品也适用^[13], 同时笔者对样品也进行了 15 d 的实验, 结果也证明了平衡条件的建立。1 周以后, 经过离心, 取约 10 mL 的上层清夜, 加入氘代菲作为内标物质后用环己烷提取, 后用 GC-MS 测定其菲的含量^[14]。

1.3 原理和数据处理

$$\text{Freundlich 吸附等温线: } c_s = K_{\text{Fr}} c_w^n \quad (1)$$

式中, c_s 和 c_w 各表示平衡状态下污染物在固相和液相中的浓度 ($\text{mg}\cdot\text{kg}^{-1}$; $\text{mg}\cdot\text{L}^{-1}$)。 K_{Fr} [$\text{mg}\cdot\text{kg}^{-1}/(\text{mg}\cdot\text{L}^{-1})^{1/n}$] 和 n 则分别表示为 Freundlich 吸附系数和指数。

分配和填孔二元模型:

$$c_s = f_{\text{oc}} K_{\text{oc}} c_w + V_0 \rho \exp \left\{ - \left(\frac{RT \left(- \ln \frac{c_w}{S} \right)}{E} \right)^b \right\} \quad (2)$$

式中, S 和 f_{oc} 分别表示该污染物在水中的溶解度 ($\text{mg}\cdot\text{L}^{-1}$) 和有机碳分数 ($f_{\text{oc}} = f_{\text{TOC}} - f_{\text{BC}}$)。 V_0 和 ρ 则为单位质量吸附剂对污染物的最大吸附体积 ($\text{cm}^3\cdot\text{kg}^{-1}$) 和密度 ($\text{g}\cdot\text{cm}^{-3}$)。 R 和 T 则为理想气体常数 [$8.3144 \times 10^{-3} \text{ kJ}\cdot(\text{mol}\cdot\text{K})^{-1}$] 和温度 (K)。 E 则与吸附能量相关, 且通常在 10 和 12 $\text{kJ}\cdot\text{mol}^{-1}$ 之间; b 为经验指数, 往往指定为 2, 标志着吸附能量的对数正态分布^[15]。 $f_{\text{oc}} \times K_{\text{oc}}$ 则为分配系数 K_p , K_{oc} 则可由 K_{ow} 预测, 如:

$$\lg K_{\text{oc}} = 0.99 \lg K_{\text{ow}} - 0.35 \quad (3)$$

该二元模型由 Xia 等^[17]第一次用于天然的沉积物吸附行为中, 并成功地运用于其它研究中^[4]。

本研究中, 根据物质平衡来计算沉积物中的菲含量:

$$c_s = \frac{x_{\text{Total}} - c_w \times v_w}{m_d} \quad (4)$$

式中, v_w 和 m_d 表示水的体积(L)和沉积物的干重(kg), x_{Total} 为在每个批处理实验系统中注射的菲的总量(mg)。考虑到由于和玻璃表面以及瓶盖接触等的系统损失, 运用参照实验来系统的控制, 结果表明其损失均在 10% 以下。

2 结果与分析

2.1 沉积物的特征

岩相分析结果表明, 该沉积物富含煤及其生成物, 如煤的镜质体、木炭、焦炭以及富含微小(约几 μm)煤和焦炭颗粒的粘土基质富碳体(图 1)。这些富

碳物质在沉积物中的出现均与该地区早期的煤矿活动有关。原始沉积物及其各组分的特征如表 1 所示。可以看出轻组分虽然在沉积物质量中不到 5%, 但它却含有非常高的 TOC 和 BC 含量。同时笔者利用轻、重组分的各指标含量来推算沉积物中的指标含量, 可以看出, 除了 BC 值有较大的偏差外, 其余含量均与原始沉积物测得值吻合。CTO375 方法的不足之处在于, 富碳物质在较高的 N 含量下很可能在测试过程中产生额外的 BC^[18], 因此, BC 所显示出的较大偏差很可能由于这一原因, 尤其是该沉积物富含煤及其产物。

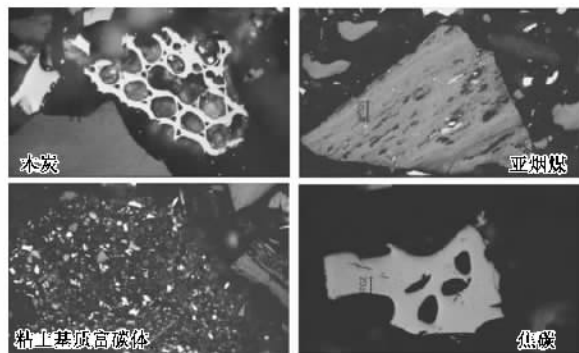


图 1 沉积物样品中的富碳物质

Fig. 1 Carbonaceous materials in sediments

表 1 原始沉积物及其各组分的特征

Table 1 Characterization of original sediments and sub fractions

项目	质量分数 /%	TOC /%	BC /%	比表面积 $/m^2 \cdot g^{-1}$	孔容 $/cm^3 \cdot g^{-1}$
原始沉积物	—	3.49	0.37	10.23	0.027
轻组分	4.32	48.53	8.9	5.36	0.022
重组分	95.68	1.33	0.2	10.67	0.027
$< 63 \mu m$	59.26	3.32	0.40	13.8	0.036
推算值	—	3.4	0.57	10.44	0.027

2.2 Freundlich 吸附等温线

如图 2 所示, Freundlich 模型[方程(1)]与实测数据拟合较好, 尤其是对于 $< 63 \mu m$ 组分来说, 其 R^2 值达到 0.998。基于轻重组分的模拟值而推算出的沉积物 $\lg K_{Fr}$ 和 n 值与原始沉积物实测拟合值均较为符合, 进一步证明了实验的可靠性(表 2)。

表 2 显示了 Freundlich 吸附等温线各参数的值。可以看出, 原始沉积物以及沉积物的各组分显示出差异性的吸附容量, 且其 n 值在 0.72 ~ 0.76 之间, 均表现出较强的非线性。轻组分的 $\lg K_{Fr}$ 值为 4.03, 即相比其它组分吸附容量最大。且该值与褐煤和亚烟煤的 $\lg K_{Fr}$ 相当^[8]。笔者进一步计算了 K'_{oc} 的值, 即

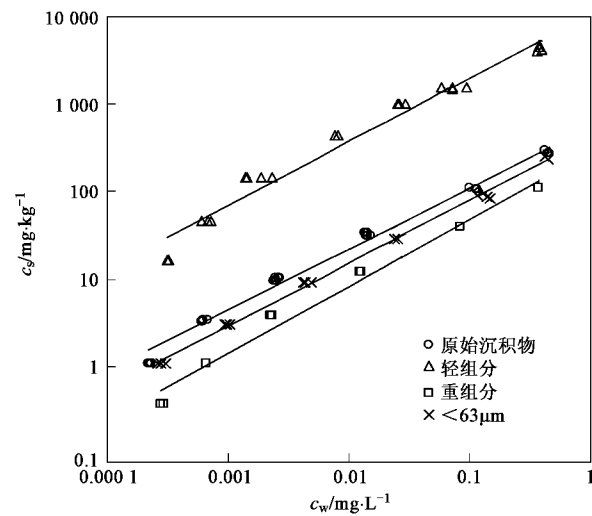


图 2 沉积物不同组分 Freundlich 吸附等温线

Fig. 2 Freundlich isotherms for sub fractions in sediments

表 2 沉积物不同组分的 Freundlich 吸附等温线参数

Table 2 Freundlich model parameters for sub fractions in sediments

项目	N	$\lg K_{Fr}$	n	R^2	MWSE ¹⁾	$\frac{\lg K'_{oc}^{(2)}}{1 \mu g \cdot L^{-1} 1 mg \cdot L^{-1}}$
原始沉积物	30	2.78	0.73	0.981	0.0874	5.05
轻组分	27	4.03	0.73	0.969	0.141	5.16
重组分	18	2.43	0.76	0.984	0.0785	5.03
$< 63 \mu m$	18	2.61	0.72	0.998	0.0099	4.94
推算值	—	2.86	0.74	—	—	5.11
						4.33

1) MWSE(加权均方误差) = $1/(N-2) \sum [(c_s \text{ 实测} - c_s \text{ 模拟})^2 / c_s^2 \text{ 实测}]$;

2) $K'_{oc} = K_{Fr}/f_{oc}$

$K'_{oc} = K_{Fr}/f_{oc}$ 。表 2 中分别列出了当 c_w 在 $1 \mu g \cdot L^{-1}$ 和 $1 mg \cdot L^{-1}$ 时的 $\lg K'_{oc}$ 值。可以看出, 沉积物各组分的 $\lg K'_{oc}$ 值非常接近, 这表明在各个组分中有机碳表现出相似的吸附能力, 这很可能与分布在各个组分中的富碳物质有关。同时, 本研究所测出的 $\lg K'_{oc}$ 和 n 值均与最近针对富碳标准物质吸附的研究结果具有可比性^[19]。同时, 值得注意的是, 当水中含量较低 ($c_w = 1 \mu g \cdot L^{-1}$) 时, 该类富碳物质则相比在更高浓度 ($c_w = 1 mg \cdot L^{-1}$) 时显示出更强的吸附性能。

2.3 分配和填孔二元模型

分配和填孔二元模型[方程(2)]也用于拟合本次实验的吸附数据。研究表明, 对于菲等溶解度较低的憎水性有机污染物来说, 运用过冷液溶解度 (s_{sc}) 相比其水中溶解度更能有效地反映其吸附特征^[8], 因此在该二元模型中运用 s_{sc} 来拟合数据, K_{oc} 由方程(3)得出。经验指数 b 为 2, 因此 V_0 和 E 就是仅有的 2 个拟合参数。从图 3 易见, 该二元模型相比

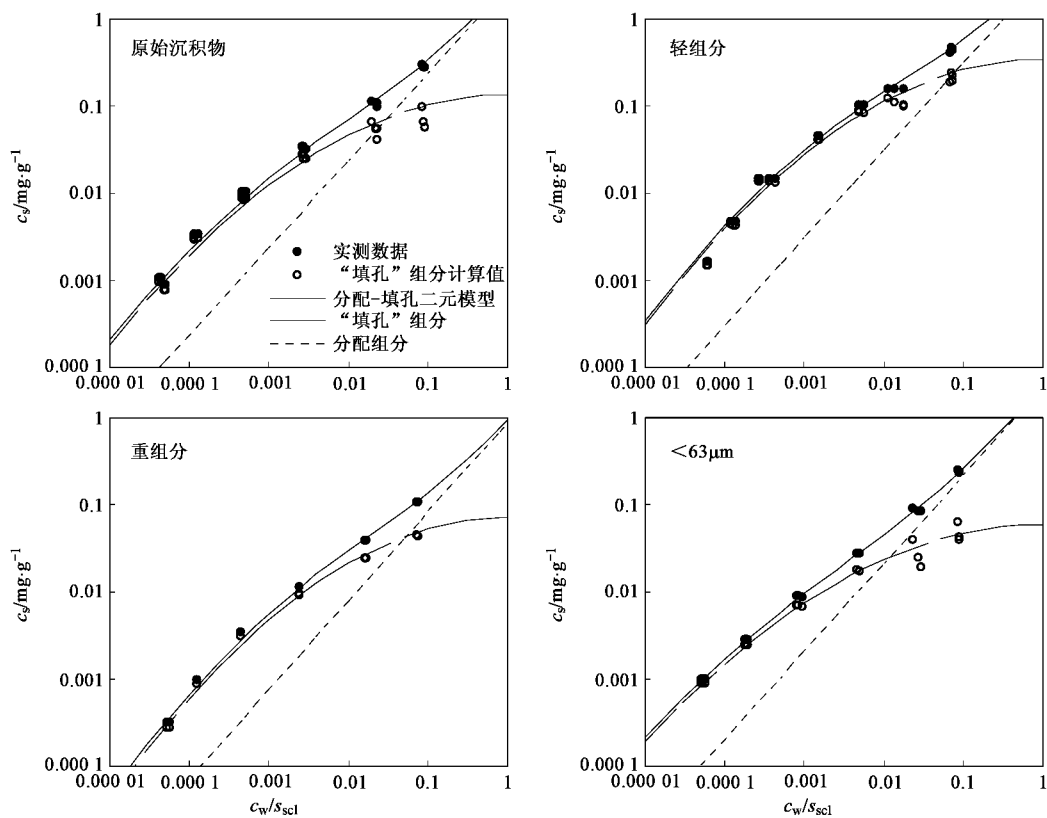


图 3 沉积物不同组分的分配和填孔二元模型

Fig.3 Partitioning and pore-filling models for sub fractions in sediments

表 3 沉积物不同组分的分配和填孔二元模型参数

Table 3 Partitioning and pore-filling model parameters for sub fractions in sediments

项目	K_p	V_0 $/\text{cm}^3 \cdot \text{kg}^{-1}$	E $/\text{kJ} \cdot \text{mol}^{-1}$	r^2	MWSE
原始沉积物	465	0.115	11	0.992	0.0297
轻组分	5924	2.91	10.8	0.992	0.0404
重组分	169	0.063	10.5	0.999	0.0136
<63 μm	435	0.052	11.9	0.995	0.0042
推算值	503	0.166	10.83	—	—

Freundlich 模型来说表现出更好的拟合度, 尤其是对低浓度范围的拟合, 表现出更小的 MWSE 值和更接近 1 的 r^2 值(均大于 0.99).

表 3 中列出了实测数据与二元模型拟合而得出的参数. 实际上, $V_0 \times \rho$ 即为该样品的最大吸附容量($c_{s,\max}$). 可以看出, 沉积物的轻组分“填孔”组分的 V_0 值达到 $2.9 \text{ cm}^3 \cdot \text{kg}^{-1}$, 相比其它样品, 表现出更高的吸附容量. 同时, 所有样品的 E 值均在 $10.5 \sim 11.9 \text{ kJ} \cdot \text{mol}^{-1}$ 范围内. 本研究所得出的参数值与其它的研究结果具有可比性. 如 Kleineidam 等^[8]对褐煤和亚烟煤的菲吸附研究得出, 褐煤和亚烟煤的 V_0

值分别为 3.5 和 $4.7 \text{ cm}^3 \cdot \text{kg}^{-1}$; E 值则分别为 10.8 和 $10.3 \text{ kJ} \cdot \text{mol}^{-1}$. 本研究发现, CTO 方法测定出的 BC 值可能偏大, 因而, 本实验中的 f_{oc} 可能会被低估, 尤其是对 TOC 含量很高的轻组分而言. 实际上, 对于轻组分来说, 即使利用 TOC 分数来代替 f_{oc} , 模拟出来的 E 值仅稍微增大到 $10.9 \text{ kJ} \cdot \text{mol}^{-1}$, 相应的 V_0 值变为 $2.64 \text{ cm}^3 \cdot \text{kg}^{-1}$. 因此 f_{oc} 值的偏差, 对拟合出的参数影响并不大.

3 讨论

在 log-log 尺度下, 实验得出的吸附等温线并不是直线, 而显示为随着浓度而变化的曲线. 二元模型相比传统的 Freundlich 模型可以更好地拟合这种变化. 实际上, 运用分配和填孔二元模型的主要目的是预测其吸附机制. 吸附(sorption)包括吸着(adsorption)和吸收(absorption). 吸着指的是污染物在表面或者界面上富集的行为; 相应的, 吸收则是污染物渗入吸附剂的过程, 类似于溶质溶于溶液, 即“分配”. 而在富碳物质对 PAHs 的吸附行为则同时包括分配和吸着, 即这 2 种过程同时进行. 目前,

该类吸附的机制还不是很清楚, Cornelissen 等^[19]对近年来的很多研究加以综述,并总结了限制富碳物质吸附行为的2种机制:①在相对刚性、平面和芳香性的表面的吸着;②富碳物质中富含的纳米级孔隙中的吸附。而二元模型中的“填孔”则正是指污染物在富碳物质微小孔隙表面的吸附,类似“填孔”。因此,本实验数据证明了“填孔”机制的可靠性。对于不同浓度的吸附来说,当 c_w/s_{sc} < 0.001,这种“填孔”吸附的贡献达到总吸附量的 80% ~ 90%,且随水中浓度的升高“填孔”吸附的贡献率下降,并渐由分配过程取而代之成为主导吸附(图 3)。

笔者进一步计算了各组分对整个沉积物对菲吸附的贡献率,如图 4 所示,各组分的贡献率随水中污染物浓度的变化而有所变化。在整个浓度尺度范围内,轻组分虽然只占沉积物质量百分比的不足 5%,但其对沉积物的吸附的贡献均超过 60%。相应的重组分的贡献率虽随 c_w 的增高而小幅度增大,其贡献率始终不足 40%。而对于占沉积物质量近 60% 的 $< 63 \mu\text{m}$ 组分来说,其贡献率则在 30% ~ 41% 之间。

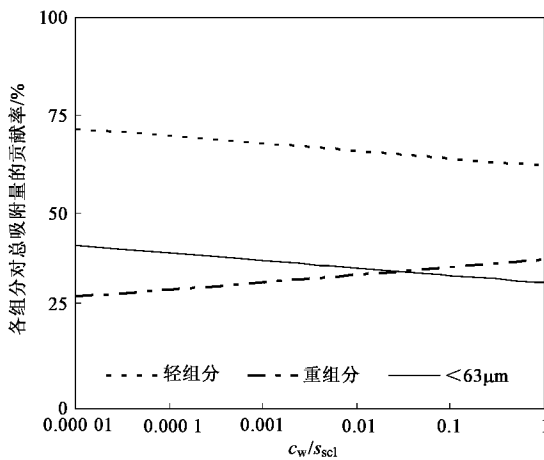


图 4 沉积物各组分对沉积物中菲总吸附量的贡献率

Fig. 4 Contribution of each sub fraction to the total sorption of phenanthrene

4 结论

(1) 岩相分析表明,该天然沉积物中包含了煤以及其它煤的生成物,它们均为早期煤矿活动的产物。

(2) 轻组分中富含富碳物质,该组分对菲的吸附特征与原煤等相近,表明了煤炭等富碳物质对该沉积物吸附 PAHs 的主导作用。

(3) 相比 Freundlich 模型,二元模型显示出更高的拟合度,揭示了沉积物中富碳物质对菲的吸附机

制,即低 c_w 时以“填孔”为主和高 c_w 时以分配为主的吸附机制,更进一步为 PAHs 在富碳沉积物中微孔中的吸附机制提供了证据。

(4) 轻组分虽然在沉积物中含量很低,该组分对菲的吸附量却占沉积物总吸附量的大多数,更进一步表明了富碳物质在沉积物中对 PAHs 吸附的主导作用。

参考文献:

- [1] Allen-King R M, Grathwohl P, Ball W P. New modeling paradigms for the sorption of hydrophobic organic chemicals to heterogeneous carbonaceous matter in soils, sediments, and rocks [J]. *Adv Water Resour.*, 2002, **25**: 985-1016.
- [2] Weber Jr W J, McGinley P M, Katz L E. A distributed reactivity model for sorption by soils and sediments. 1. Conceptual basis and equilibrium assessments [J]. *Environ Sci Technol*, 1992, **26**(10): 1955-1962.
- [3] Huang W, Young T M, Schlautman M A, et al. A distributed reactivity model for sorption by soils and sediments. 9. General isotherm nonlinearity and applicability of the dual reactive domain model [J]. *Environ Sci Technol*, 1997, **31**(6): 1703-1710.
- [4] Ran Y, Xing B, Rao P S C, et al. Importance of adsorption (Hole-filling) mechanism for hydrophobic organic contaminants on an aquifer kerogen isolate [J]. *Environ Sci Technol*, 2004, **38**: 4340-4348.
- [5] Weber Jr W J, Huang W. A Distributed Reactivity Model for Sorption by Soils and Sediments. 4. Intraparticle Heterogeneity and Phase-Distribution Relationships under Nonequilibrium Conditions [J]. *Environ Sci Technol*, 1996, **30**: 881-888.
- [6] 孙可, Xing B S, 冉勇. 土壤和沉积物中非水解有机碳对菲的吸附 [J]. 环境化学, 2007, **26**: 757-761.
- [7] Cornelissen G, Gustafsson Ö. Importance of unburned coal carbon, black carbon, and amorphous organic carbon to phenanthrene sorption in sediments [J]. *Environ Sci Technol*, 2005, **39**: 764-769.
- [8] Kleineidam S, Schütt C, Grathwohl P. Solubility-normalized combined adsorption-partitioning sorption isotherms for organic pollutants. [J]. *Environ Sci Technol*, 2002, **36**(21): 4689-4697.
- [9] 吴文铸, 占新华, 周立祥. 水溶性有机物对土壤吸附-解吸菲的影响 [J]. 环境科学, 2007, **28**: 267-271.
- [10] 宋建中, 于赤灵, 彭平安, 等. 珠江三角洲地区土壤与表层沉积物有机质的性质结构研究 [J]. 土壤学报, 2003, **40**: 335-343.
- [11] Gustafsson Ö, Haghseta K, Chan C, et al. Quantification of the dilute sedimentary soot phase: Implications for PAH speciation and bioavailability [J]. *Environ Sci Technol*, 1997, **32**: 203-209.
- [12] Nkedi-Kizza P, Rao P S C, Hornsby A G. Influence of organic cosolvents on leaching of hydrophobic organic chemicals through soils [J]. *Environ Sci Technol*, 1987, **21**: 1107-1111.
- [13] Kleineidam S, Rügner H, Ligouis B, et al. Organic matter facies and equilibrium sorption of Phenanthrene [J]. *Environ Sci Technol*, 1999, **33**(10): 1637-1644.
- [14] Yang Y, Ligouis B, Pies C, et al. Identification of carbonaceous

- geosorbents for PAHs by organic petrography in river floodplain soils [J]. Chemosphere, 2008, **77**:2158-2167.
- [15] Condon J B. Equivalency of the Dubinin-Polanyi equations and the QM based sorption isotherm equation. A. mathematical derivation [J]. Mircopor Mesopor Mater, 2000, **38**:359-376.
- [16] Seth R, Mackay D, Muncke J. Estimating the organic carbon partition coefficient and its variability for hydrophobic chemicals[J]. Environ Sci Technol, 1999, **33**:2390-2394.
- [17] Xia G, Ball W P. Adsorption-partitioning uptake of nine low-polarity organic chemicals on a natural sorbent [J]. Environ Sci Technol, 1999, **33**(2):262-269.
- [18] Gelinas Y, Prentice K M, Baldock J A, et al . An improved thermal oxidation method for the quantification of soot/graphitic black carbon in sediments and soils [J]. Environ Sci Technol, 2001, **35**: 3519-3525.
- [19] Cornelissen G, Gustafsson Ö, Bucheli T D, et al . Extensive sorption of organic compounds to black carobn, coal, and kerogen in sediments and soils: mechanisms and consequences for distribution, bioaccumulation, and biodegradation [J]. Environ Sci Technol, 2005, **39**:6881-6895.